

## Нейтронно-активационный анализ

специальный ядерный практикум Физического факультета МГУ бета-версия 1.2, 27.07.2024

*В работе изучаются на сцинтилляционном спектрометре гамма-спектры образцов, облученных тепловыми нейтронами. Калибровка и оценка эффективности регистрации спектрометра проводится по фотопикам титана-44. Плотность потока тепловых нейтронов оценивается с помощью кремниевого детектора по интенсивности деления ядер урана-235.*

1. Введение
2. Реакции под действием нейтронов
3. Активация изотопа
4. Экспериментальная установка
5. Сцинтилляционный спектрометр
6. Контрольные вопросы и задачи
7. Литература
8. Приложения.

Приложение 1. Зависимость сечения захвата нейтронов ядрами  $^{197}\text{Au}$  от энергии нейтрона.

### 1. Введение

**Активационным анализом** называют метод качественного и количественного анализа вещества, основанный на активации ядер атомов и исследовании образовавшихся радиоактивных изотопов (радионуклидов). Результаты такого анализа не зависят от того, в какое химическое соединение входят атомы определяемых элементов, но чувствительны к изменению изотопного состава элементов.

В этом методе исследуемый образец облучается потоком частиц (нейтронов, протонов,  $\alpha$ -частиц) или  $\gamma$ -квантов, и в результате ядерных реакций часть ядер превращается в радиоактивные или возбуждённые. Дальнейшая идентификация элементов происходит по энергии излучения и периоду полураспада радиоактивных ядер.

**Нейтронный активационный анализ** (НАА) впервые применили Дьёрдь Хевеши и Хильде Леви, облучая нейтронами радиево-бериллиевого источника образцы с редкоземельными металлами в 1936 году [1].

В результате неупругого взаимодействия нейтрона с ядром-мишенью образуется составное ядро в возбуждённом состоянии. Если энергия нейтронов мала, то энергия возбуждения равна энергии связи нейтрона в составном ядре, и

происходит переход в основное состояние за время меньше  $10^{-13}$  с с испусканием так называемых мгновенных (prompt)  $\gamma$ -квантов.

Основное состояние образовавшегося ядра может быть нестабильным, тогда происходит  $\beta$ -распад. Если происходит распад на возбуждённое состояние конечного ядра, то испускаются  $\gamma$ -кванты с характерными для этого ядра энергиями. Эти  $\gamma$ -кванты регистрируются детектором. Далее, зная число нейтронов, падающих на образец, по энергии и известным из литературы сечениям радиационного захвата определяется масса исходного элемента в образце.

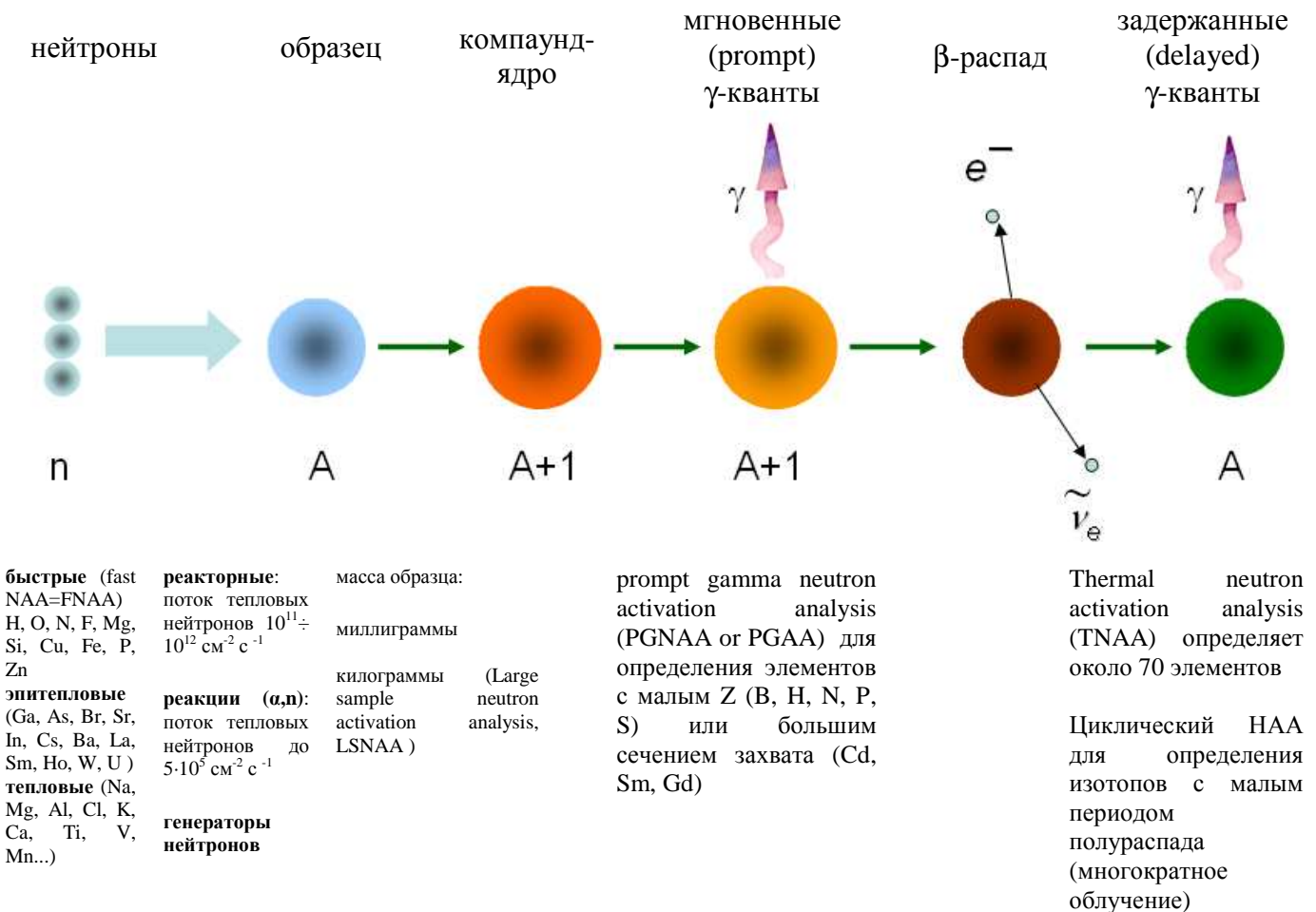


рис. 1. Последовательность событий в реакции  $(n,\gamma)$  и виды НАА[2]

Таким образом, по времени измерения нейтронный активационный анализ подразделяется на две категории:

- регистрация мгновенных  $\gamma$ -квантов, когда измерения проводятся во время облучения;
- регистрация задержанных  $\gamma$ -квантов, где измерения производятся во время распада.

Облучение тепловыми нейтронами занимает ведущее место среди активационных методов, так как имеет следующие достоинства:

- при облучении большинства элементов протекает только одна ядерная реакция ( $n, \gamma$ ), в результате которой образуется радиоизотоп исходного элемента, что уменьшает число радионуклидов, которые могут быть получены при многоэлементном анализе. Также в отсутствие реакций, связанных с изменением заряда ядер, исключены эффекты интерференции  $\gamma$ -линий различных элементов;
- большинство нуклидов являются  $\gamma$ -излучателями;
- в реакции ( $n, \gamma$ ) у подавляющего числа элементов периодической системы происходит образование радиоизотопов, что придает методу универсальность;
- в случае большого сечения реакции ( $n, \gamma$ ) достигается высокая чувствительность метода.

В большинстве применений НАА используются германиевые детекторы высокой чистоты в вакуумном криостате. Охлаждение достигается либо с помощью жидкого азота либо электронных криогенных холодильников. Пример регистрации задержанных  $\gamma$ -квантов приведен на рис.2.

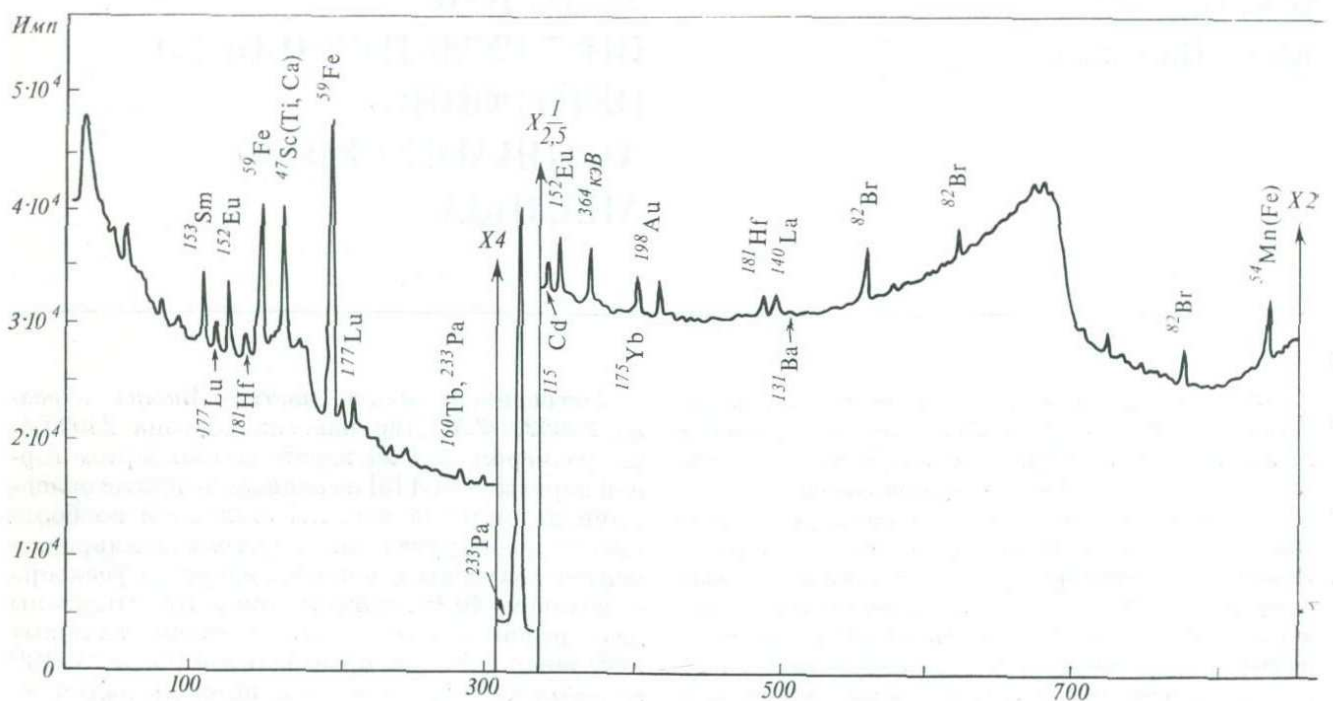


рис. 2. Фрагмент  $\gamma$ -спектра образца лунного реголита, доставленного аппаратом Луна-24. Масса измеряемого образца 4,4 мг. Облучен в канале реактора тепловыми нейтронами  $10^{12}$  нейтронов/(с· $\text{см}^2$ ). Общая интегральная доза  $7 \cdot 10^{17}$  нейтронов/ $\text{см}^2$ . Спектр снят германиевым детектором с энергетическим разрешением 3 кэВ по линии 662 кэВ через 11,5 дней после облучения. Измерения проводились в низкофоновом помещении. Экспозиция 40672 с.[3]

## 2. Реакции под действием нейтронов

Эффективное сечение  $\sigma$  характеризует вероятность взаимодействия частицы с ядром и определяется как отношение числа событий данного типа в единицу времени, приходящееся на одно ядро мишени, к потоку налетающих частиц через единицу поверхности мишени. Если слой вещества, содержащий  $n$  ядер, пересекают  $v$  частиц/( $\text{см}^2\text{с}$ ), то число актов взаимодействия  $m$ , вызванных ими в единицу времени, будет равно

$$m = v \cdot n \cdot \sigma$$

Наглядный смысл понятия эффективного сечения: заменим каждое ядро мишенью с площадью  $\sigma$ , тогда площадь, занимаемая  $n$  ядрами, будет равна  $n\sigma$  и число попаданий в мишени выразится формулой  $m = v \cdot n \cdot \sigma$ . Нужно подчеркнуть, что только в отдельных случаях эффективное сечение ядерной реакции примерно равно площади сечения ядра. Так, площадь сечения ядра около  $10^{-24} \div 10^{-25} \text{ см}^2$ , тогда как эффективное сечение различных ядерных реакций колеблется от  $10^{-20} \text{ см}^2$  (захват тепловых нейтронов, см. таблицу 1) до  $10^{-30} \text{ см}^2$  (возбуждение ядер гамма-квантами). В общем случае сечение захвата нейтрона сильно зависит от энергии нейтрона (см. Приложение 1).

Эффективное сечение измеряется в барнах:  $16 = 10^{-24} \text{ см}^2$

В классическом пределе сечение взаимодействия точечной частицы с мишенью радиуса  $R$  описывается величиной  $\sigma = \pi \cdot R^2$ .

При переходе к квантовому описанию процесса взаимодействия нейтрона с ядром необходимо учесть, что налетающий нейtron имеет длину волны

$$\square_n = \frac{\square}{p_n} = \frac{\square}{\sqrt{2mE_n}} \quad \square_n(\Phi_M) = \frac{4,5}{\sqrt{E_n(M\text{эВ})}}$$

$p_n$  — импульс нейтрона,  $E_n$  — энергия нейтрона

При этом сечение взаимодействия нейтрона будет  $\sigma_0 = \pi(R + \square_n)^2$ <sup>1</sup>

Таблица 1. Примеры сечений захвата тепловых нейтронов для некоторых веществ

вещество	сечение захвата тепловых нейтронов (со скоростью 2200 м/с), б
дейтерий	0.00052
графит	0.0035
водород	0.33
алюминий	0.231
серебро	63.3
родий	144.8
уран-235	$582.6 \pm 1.1$
америций-242м	$1290 \pm 300$
бор-10	3837
гадолиний-157	$259000 \pm 700$

<sup>1</sup> Ишханов Б.С. - Физика атомного ядра и частиц — Ядерные реакции (лекция 11)  
<https://youtu.be/tJFMLQI9ukQ?t=2055>

Проходя сквозь вещества, нейтроны вызывают в них различные ядерные реакции, а также претерпевают упругое рассеяние на ядрах. Сечения нейтронно-ядерных реакций сильно зависят от энергии нейtronов и нерегулярно меняются при изменении A и Z ядер. Поскольку сечения взаимодействий нейtronов с ядрами в среднем резко растут по закону «1/v» при уменьшении энергии нейтрана, нейтроны разделяют на две большие группы — медленных и быстрых нейtronов. Граница между этими группами не является строго определенной. Она лежит примерно в области 1000 эВ. Медленные нейтроны сильно взаимодействуют с ядрами. Заметим, что «медленность» медленных нейtronов весьма относительна. Даже нейtron с энергией 0,025 эВ имеет скорость 2 км/с. Энергия E<sub>тепл</sub>=0,025 эВ определяет порядок энергий тепловых нейtronов, т. к.

$$E_{\text{тепл}} = kT,$$

для абсолютной температуры T=300 К соответствует энергии тепловых нейtronов (k - постоянная Больцмана). Находящиеся в тепловом равновесии нейтроны, имеют разброс по скоростям, в результате чего энергии довольно большой части нейtronов могут быть заметно больше kT. Поэтому к тепловым обычно относят нейтроны с энергиями примерно до 0,5 эВ.

Таблица 2. Реакции под действием нейtronов

тип реакции	сечение реакции
радиационный захват (n,γ)	Идет на всех ядрах. Сечение: для тепловых нейtronов варьируется в широком интервале от 0,1 до 10 <sup>3</sup> и даже 10 <sup>6</sup> барн ( $\frac{135}{55} Xe$ ); для быстрых нейtronов — от 0,1 до нескольких барн.
упругое рассеяние (n,n)	Сечение варьируется в интервале нескольких барн.
неупругое рассеяние (n,n')	Пороговый процесс. Сечение по порядку величины равняется нескольким барн.
(n,p)	<p>Наиболее важные реакции:</p> $n + \frac{3}{2} He \rightarrow \frac{3}{1} H + p + 0,76 \text{МэВ} (\sigma_{\text{тепл.нейтр.}} = 5400 \text{барн})$ $n + \frac{14}{7} N \rightarrow \frac{14}{6} C + p + 0,63 \text{МэВ} (\sigma_{\text{тепл.нейтр.}} = 1,75 \text{барн})$
(n,α)	<p>Наиболее важные реакции:</p> $n + \frac{6}{3} Li \rightarrow \frac{3}{1} H + \alpha + 4,78 \text{МэВ} (\sigma_{\text{тепл.нейтр.}} = 945 \text{барн})$ $n + \frac{10}{5} B \rightarrow \frac{7}{3} Li + \alpha + 2,79 \text{МэВ} (\sigma_{\text{тепл.нейтр.}} = 3840 \text{барн})$
(n,2n)	Пороговая реакция. Порог по порядку величины равняется 10-15 МэВ. Сечение: несколько десятых барна
реакция деления ядер (n,f)	<p>В подавляющем большинстве случаев пороговая реакция. Сечение очень мало, исключая отдельные случаи</p> $\sigma_{\text{тепл.нейтр.}} (\frac{235}{92} U) = 582.6 \pm 1.1 \text{барн}$ $\sigma_{\text{тепл.нейтр.}} (\frac{239}{92} Pu) = 748.1 \pm 2.0 \text{барн}$

Для таких веществ, как парафин ( $C_{30}H_{62}$ ), полиэтилен ( $CH_2$ )<sub>n</sub> и полиметилметакрилат (оргстекло,  $C_5H_8O_2$ ), длина замедления 14-МэВных нейтронов составляет 17÷20 см.

### 3. Активация изотопа

Активацией называется процесс образования радиоактивного вещества при облучении стабильных ядер нейtronами, протонами и другими видами излучения. Количество активированных ядер зависит от количества атомов в мишени, времени облучения и эффективного сечения ядерной реакции, в которой образуется исследуемый изотоп.

Выведем формулы активации. Пусть на образец, содержащий  $n$  ядер, падает поток  $v$  частиц/(см<sup>2</sup>с), а эффективное сечение захвата падающих частиц с образованием радиоактивного ядра равно  $\sigma$ . Тогда в образце в секунду образуется  $v n \sigma$  радиоактивных ядер. Однако необходимо учесть, что часть вновь образовавшихся ядер в процессе активации распадается. За время  $dt$  образуется  $v n \sigma dt$  ядер, а распадается  $\lambda N dt$ , где  $N$  - количество накопленных к моменту времени  $t$  активируемых ядер. В итоге изменение количества радиоактивных ядер описывается соотношением

$$dN = v n \sigma dt - \lambda N dt, \quad \text{или} \quad \frac{dN}{dt} = v n \sigma - \lambda N \quad (1)$$

При больших временах активации  $t > 1/\lambda$  рост числа радиоактивных ядер практически прекращается ( $dN/dt \rightarrow 0$ ). Это происходит, когда число образующихся радиоактивных ядер окажется практически равным числу распадающихся, т.е. когда число радиоактивных ядер  $N(t) \rightarrow N_h = v n \sigma t$ .

Величина  $N_h$  называется **активацией насыщения**.

Интегрируя соотношение (1), получим зависимость активации  $N(t)$  от времени облучения  $t$ :

$$N(t) = N_h (1 - e^{-\lambda t}) \quad (2)$$

График зависимости (2) показан на рис. 3.1. **Практически насыщение достигается за время облучения, соответствующее 4÷5 периодам полураспада.**

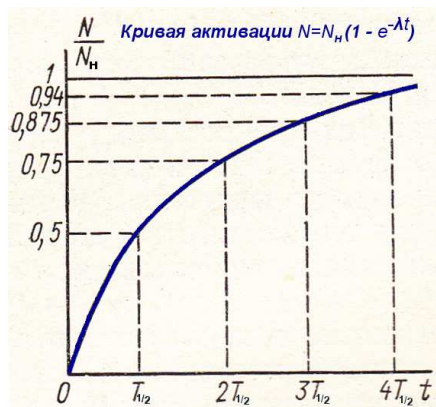


рис. 3.1: кривая активации

При  $t \ll T$  распадом можно пренебречь. В этом случае  $N = v n \sigma t$ , т.е. в начале облучения число радиоактивных ядер растёт линейно со временем.

Для получения радиоактивных изотопов часто используют нейтроны, так как для них не существует электростатических сил отталкивания от ядра. В 1935 г. Ферми обнаружил, что наведенная радиоактивность во много раз увеличивается, если источник нейтронов и облучаемую мишень окружить водородсодержащим веществом, например парафином.

Как оказалось, это связано с тем, что нейтроны при соударениях с равными им по массе протонами быстро теряют энергию и распространяются в среде с тепловыми скоростями. Кроме того, тепловые нейтроны, испытывая в парафиине большое число соударений, движутся хаотично и могут пересекать облучаемую мишень несколько раз, а вероятность захвата нейтронов атомными ядрами обратно пропорциональна их скорости (согласно закону « $1/v$ »).

При захвате теплового нейтрона ядром с массовым числом  $A$  образуется «компаунд» ядро  $A+1$  в возбужденном состоянии.

Проанализируем активацию изотопа на примере образца, содержащего природное золото.

$^{195}\text{Au}$ z: 79 n: 116 Jπ: $3/2^+$ $T_{1/2}: 186.01 \text{ d}$ 0.06 decay ec 100%	$^{196}\text{Au}$ z: 79 n: 117 Jπ: 2- $T_{1/2}: 6.1669 \text{ d}$ 0.0006 decay ec $\beta^+$ 93.0% $\beta^-$ 7.0%	$^{197}\text{Au}$ z: 79 n: 118 Jπ: $3/2^+$ $T_{1/2}:$ stable	$^{198}\text{Au}$ z: 79 n: 119 Jπ: 2- $T_{1/2}: 2.6941 \text{ d}$ 0.0002 decay $\beta^-$ 100%	$^{199}\text{Au}$ z: 79 n: 120 Jπ: $3/2^+$ $T_{1/2}: 3.139 \text{ d}$ 0.007 decay $\beta^-$ 100%	$^{200}\text{Au}$ z: 79 n: 121 Jπ: $(1^-)$ $T_{1/2}: 48.4 \text{ m}$ 0.3 decay $\beta^-$ 100%
---	---	---	---	--	---

рис.3.2. фрагмент строчки NZ-диаграммы для ядер золота

источник: NZ-диаграмма МАГАТЭ <https://www-nds.iaea.org/relnsd/vchart/html/VChartHTML.html>

Выясняем, что природное золото на 100% состоит из изотопа Au-197. Чтобы определить сечение захвата тепловых нейтронов изотопом, выбираем опцию **Neutron capture** и в столбце (**n,g**) видим в барнах табличное значение:

$$98.65 \pm 0.09 \text{ б}$$

При захвате тепловых нейтронов ядрами Au-197 образуются ядра Au-198, испытывающие с периодом полураспада 2,69 дня  $\beta^-$ -распад. Характеристики излучений доступны в опции **Decay Radiation**. Ядра золота-198 вероятнее всего образуются в возбужденном состоянии и испускают  $\gamma$ -кванты, переходя в основное состояние стабильного изотопа ртути.

У золота-198 есть и метастабильные состояния. Изомер с периодом полураспада около 100 нс наблюдаться в нашем эксперименте не может, т.к. облученное золото принесено в лабораторию больше часа назад. Но стоит проверить, образуется ли при облучении тепловыми нейтронами изомер  $^{198m1}\text{Au}$  с периодом полураспада 2,3 дня. Запускаем атлас ( $n,\gamma$ )-реакций <https://www-nds.iaea.org/ngatlas2/>. Выбираем Au, затем Au-197( $n,g$ )<sup>2</sup>, потом Au-197( $n,g$ )m1. Сравниваем величины сечений при энергиях в районе 1 эВ, убеждаемся, что вероятность образования изомера золота-198m1 пренебрежимо мала (см. Приложение 1)

Ошибки последних значащих чисел измеренных значений энергии и интенсивности указываются после пробела за соответствующим числом. Т.е. энергия самой интенсивной  $\gamma$ -линии  $411,80205 \pm 0,00017$  кэВ. В нашем эксперименте будут наблюдать  $\gamma$ -линии с интенсивностями более нескольких процентов.

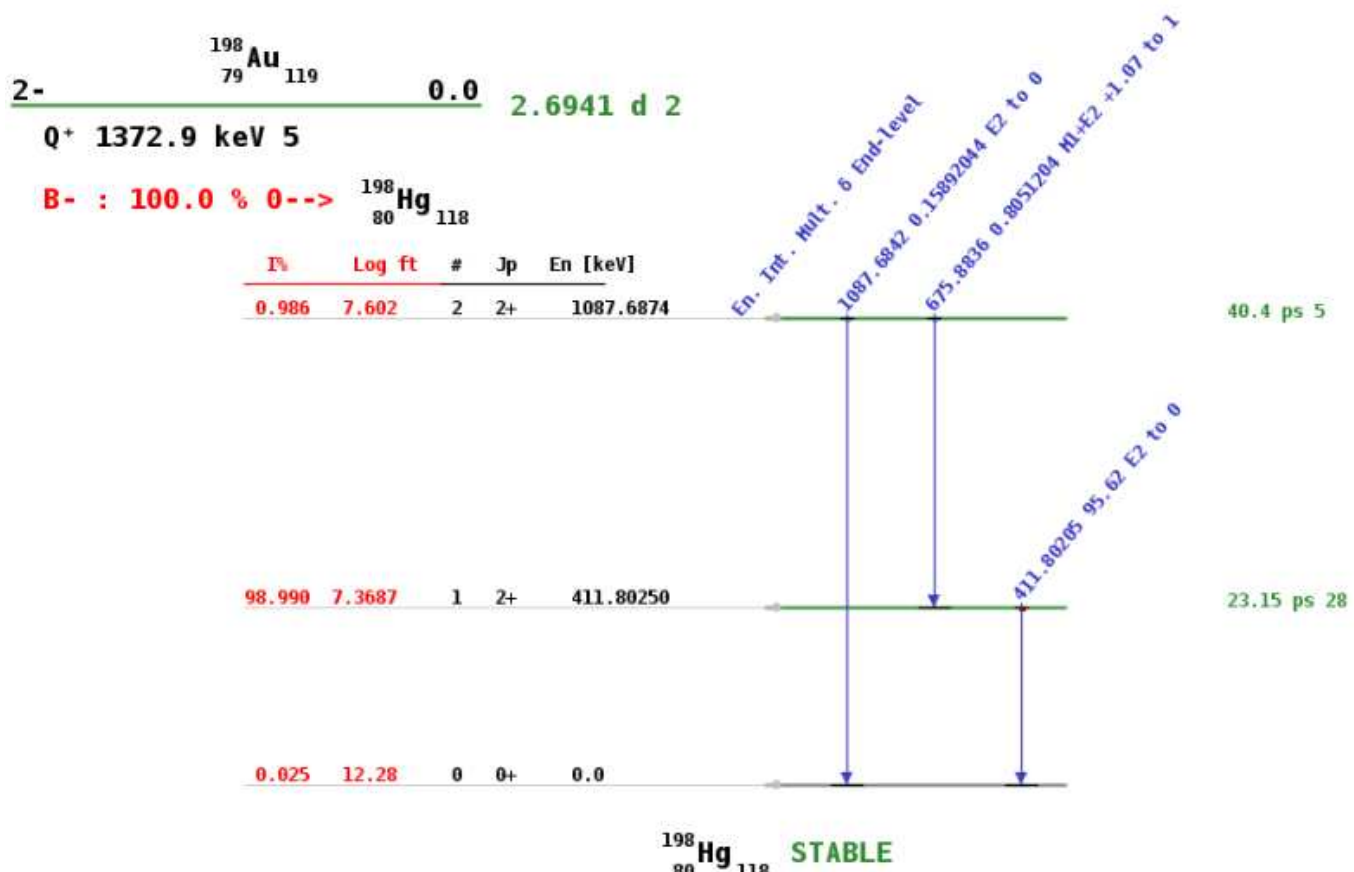


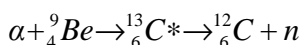
рис. 3.3. Схема распада ядер золота-198

<sup>2</sup> g за скобкой означает ground (основное состояние)  
8

Для получения нейтронов широко применяются источники нейтронов, образующиеся в результате реакции типа ( $\alpha$ , n) и ( $\gamma$ , n). Так, смесь металлического порошка бериллия с небольшим количеством  $\alpha$ -излучателя, например полония, является удобным источником нейтронов. В этом случае получаются нейтроны, обладающие практически сплошным спектром энергий от 0 до 13 МэВ.

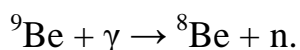
В настоящей работе для активации используется плутоний-бериллиевый источник нейтронов (интерметаллическое соединение  $\text{PuBe}_{13}$ ) активностью  $10^6 \div 10^7$  нейтронов/с.

$^{239}\text{Pu}$  (период полураспада 24 тысячи лет) излучает  $\alpha$ -частицы. Они не могут вылететь из источника из-за ничтожно малых пробегов  $\alpha$ -частиц и вступают в реакцию с ядрами бериллия:



Энергия получающегося нейтрона зависит от угла между импульсами  $\alpha$ -частицы и нейтрона, от степени замедления  $\alpha$ -частицы перед столкновением и от рассеяния нейтрона внутри источника. Спектр нейтронов сильно зависит от массы  $^{239}\text{Pu}$  и Be, от возраста источника (см.рис. 3.4).

Примером источника нейтронов, основанным на реакции ( $\gamma$ ,n), является смесь радия и бериллия. Здесь источник нейтронов представляет собой систему из двух запаянных ампул. При этом внутри ампулы с порошком бериллия помещается ампула с солями радия таким образом, что на бериллий действует только  $\gamma$ -излучение, проходящее через стенки внутренней ампулы. Реакция образования нейтронов идет по схеме



Такой источник обладает тем преимуществом, что испускает монохроматические нейтроны с энергией 110 кэВ.



рис.3.4 Спектр нейтронов Ru-Be источника.

$E_n > 1$  кэВ - быстрые нейтроны;

$E_n = kT \sim 0,025$  эВ - тепловые нейтроны

Помимо ампульных, источниками нейтронов служат источники на основе спонтанного деления ( $^{252}\text{Cf}$ , ядерные реакторы), нейтронные генераторы [4].

При выводе уравнения активации используются следующие допущения:

1. отсутствие других процессов (кроме радиоактивного распада), приводящих к исчезновению образовавшихся радиоактивных ядер. Число ядер облучаемого изотопа будет уменьшаться также за счёт перехода в радиоактивные ядра - «выгорания» изотопа. Выгорание ядер исходного изотопа при потоке нейтронов порядка  $10^{14} \text{ см}^{-2} \cdot \text{с}^{-1}$  наблюдается только при сечении активации 1000 барн и выше, поэтому для обычно используемых потоков данным эффектом можно пренебречь;

2. образовавшиеся радиоактивные ядра исчезают только в результате распада. Конечно, возможен и другой механизм – вступление в ядерную реакцию с образованием вторичного изотопа, но в большинстве случаев этот процесс незначителен.

Рассмотрим уравнение, описывающее изменение количества ядер изотопа, образованного в результате ядерной реакции:

$$N = \frac{\Phi \cdot \sigma \cdot N_0}{\lambda} \cdot (1 - e^{-\lambda t})$$

где  $\Phi$  - плотность потока нейтронов,  $\sigma$  - сечение реакции,  $N$  - число атомов активирующегося изотопа. Тогда активность на момент окончания облучения будет иметь вид:

$$A_t = \Phi \cdot \sigma \cdot N (1 - e^{-\lambda t})$$

При временах облучения порядка 10 периодов полураспада можно говорить об насыщении активации – прекращении роста числа радиоактивных ядер при последующем облучении:

$$A_{\text{насыщ.}} = \Phi \cdot \sigma \cdot N$$

Если же время обучения сравнимо с периодом полураспада, то получаемая активность будет составлять часть от активности насыщения, определяемую фактором насыщения  $(1 - e^{-\lambda t})$ .

Для многоизотопного элемента уравнение для активности принимает вид:

$$A_t = \eta \cdot \Phi \cdot \sigma \cdot N' (1 - e^{-\lambda t}),$$

где  $N'$  - исходное число атомов элемента,  $\eta$  - доля активирующегося изотопа в естественной смеси.

Уравнение, определяющее изменение активности со временем будет иметь вид:

$$N_{изм} = \Phi \cdot \sigma \cdot \frac{N_A \cdot v \cdot m}{M} \cdot \eta \cdot p \cdot (1 - e^{-\lambda t_{обл}}) \cdot e^{-\lambda t_{окл}}$$

где  $m$  – весовое количество определяемого элемента,  $M$  – атомный вес элемента,  $t_{акт}$  - время активации,  $t_{окл}$  - время, прошедшее с момента окончания облучения.

Тогда количество частиц, зарегистрированное в пике с квантовым выходом  $p$  за время измерения  $t_{изм}$ , будет иметь вид:

$$N_{изм} = \Phi \cdot \sigma \cdot \frac{N_A \cdot v \cdot m}{M} \cdot \eta \cdot p \cdot (1 - e^{-\lambda t_{обл}}) \cdot e^{-\lambda t_{окл}} \cdot \frac{(1 - e^{-\lambda t_{изм}})}{\lambda} \cdot a$$

$p$  – квантовый выход характеристического излучения радиоизотопа,

$a$  – коэффициент, учитывающий поглощение и рассеяние активирующих частиц в образце, эффективность регистрации излучения, «мёртвое» время аппаратуры, самопоглощение характеристического излучения в образце.

В зависимости от способа измерения активности существует два метода активационного анализа:

1. абсолютный метод – расчёт количества элемента по измеренной величине активности. Такой метод используется редко из-за низкой точности (лишь 40-50%), которая объясняется следующими особенностями метода:

- сложная методика и большие погрешности измерения абсолютной активности (с помощью  $4\pi$ -счётчиков или введением большого числа поправок для измерения на торцовом счётчике);

- при измерениях с помощью сцинтилляционного  $\gamma$ -спектрометра трудно точно определить поток бомбардирующих частиц, а также величина сечений сильно зависит от энергии частиц.

2. относительный метод  $\square$  одновременно с анализируемым образцом облучается точно известное количество некоторого элемента – стандарт. В одинаковых условиях происходит измерение активности исследуемого препарата и стандарта, и определяется содержание интересующего элемента из соотношения:

$$\frac{m_{препарата}}{m_{стандарт}} = \frac{A_{препарата}}{A_{стандарт}}$$

В этом случае не нужно точно знать поток бомбардирующих частиц и сечения ядерных реакций, и измеряется относительная активность, что упрощает проведение анализа и увеличивает его точность.

#### 4. Экспериментальная установка

В настоящей работе используется плутоний-бериллиевый источник нейтронов мощностью  $5 \cdot 10^6$  нейтронов/с (рис. 4.1).

Для замедления нейтронов до тепловых скоростей источник помещен в парафиновый блок, обложенный снаружи пластинами из кадмия и свинца (рис. 4.2).

Для облучения образцов произвольной формы используется цилиндрический колодец диаметром 4 см, ось которого расположена на 14 см от оси закрепления Ру-Ве-источника (рис. 4.2, ближе расположены пазы для активации образцов задачи общего ядерного практикума).

В задаче используются три независимые установки.

1) Для оценки плотности потока тепловых нейтронов в «колодец» опускается стержень из плексиглаза, в котором расположены:

- урановая мишень;
- полупроводниковый

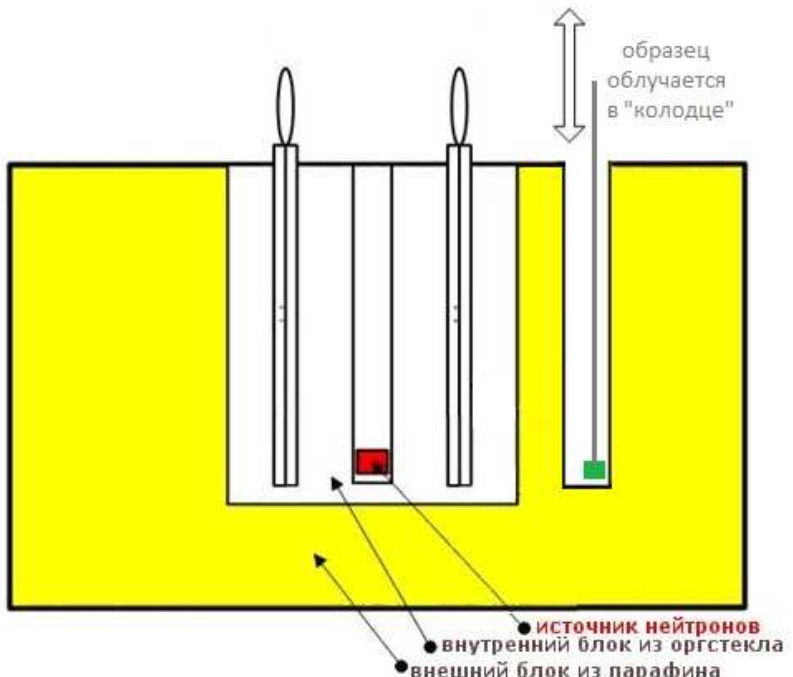
детектор на расстоянии 3 мм от урановой мишени;

- зарядочувствительный предусилитель.

Электронная аппаратура для регистрации осколков деления и альфа-частиц урановой мишени состоит из зарядочувствительного предусилителя, усилителя и аналогово-цифрового преобразователя (АЦП). Записанные спектры передаются по сети ичитываются программой Ex07 из папки Задачи рабочего стола студента.



рис. 4.1. Спектр нейтронов Ру-Ве источника в этой лабораторной работе



с.4.2. Схема активации образцов

2) Сцинтилляционный спектрометр с кристаллом NaI 63\*63 мм установлен рядом с защитным блоком нейтронного источника. Сигналы от регистрируемых им мгновенных гамма-квантов оцифровываются АЦП, записываются и считываются программой Ex20prompt из лабораторной сети практикума.

### 3) Образцы на шнурке

- опускаются в нижнюю часть цилиндрической полости, где поток тепловых нейтронов выше;

- облучаются длительное время (дни);

- сотрудниками практикума переносятся и устанавливаются для измерений.

$\gamma$ -кванты регистрируются с помощью **сцинтилляционного детектора**, состоящего из кристалла NaI(Tl) 40x40 мм и ФЭУ-93 (фотоэлектронного умножителя).

В настоящей задаче для калибровки  $\gamma$ -спектрометра применяется источник титана-44.

В задаче требуется:

- по энергиям  $\gamma$ -линий неизвестных образцов качественно определить их состав;
- провести количественную оценку содержания обнаруженного изотопа, используя рассчитанный поток тепловых нейтронов и эффективность регистрации  $\gamma$ -квантов спектрометром.

## ПОРЯДОК РАБОТЫ

**При подготовке к задаче** из базы данных определите энергию наиболее интенсивных  $\gamma$ -линий возможных облучаемых материалов, активированных тепловыми нейтронами. К примеру, <https://www-nds.iaea.org/relnsd/vcharthtml/VChartHTML.html> (база данных МАГАТЭ, находится в поисковике по запросу «livechart nuclide»).

материал	изотоп	% в природной смеси	сечение захвата тепловых нейтронов	образующийся изотоп	период полураспада	$\gamma$ -линии	%
золото							
тербий							
лантан							

**Перед началом работы** необходимо ознакомиться с установкой и инструкцией по работе.

1. До сдачи допуска с разрешения преподавателя и сотрудника лаборатории запустите набор спектра фона. При хорошей статистике на нем будет различима гамма-линия 1461 кэВ.

## 2. После сдачи допуска:

- сохраните файл спектра фона в указанную папку диска Н, запишите время набора спектра и среднюю активность;

- после установки сотрудником лаборатории калибровочного источника на кожух сцинтиллятора, запустите набор спектра;

- из паспорта источника запишите его активность на дату изготовления и рассчитайте текущую активность;

- после набора статистически значимых фотопиков (площадь каждого фотопика должна быть несколько десятков тысяч) остановите набор, запишите время набора, площадь и полуширину фотопиков;

- повторите измерения для неизвестных образцов, устанавливаемых сотрудником лаборатории.

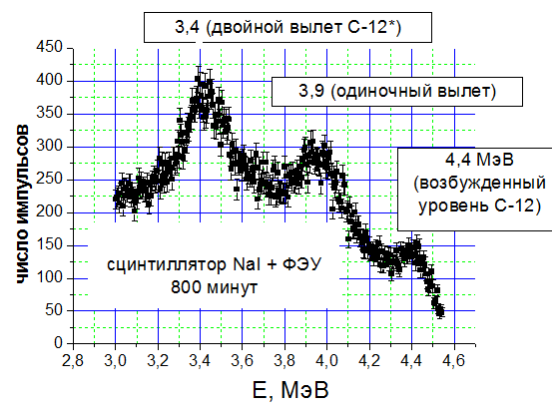
По ходу измерений:

- постройте зависимость энергии  $\gamma$ -квантов от номера канала;

- рассчитайте эффективность регистрации по пикам полного поглощения калибровочного источника;

- запустите удаленный набор спектра источника урана-235, помещенного в «колодец» и по числу зарегистрированных актов деления ядер урана-235 **оцените поток тепловых нейтронов на дне «колодца»**;

- запустите удаленный набор спектра мгновенных  $\gamma$ -квантов спектрометром, находящимся рядом с защитой Ru-Be-источника. Откалибруйте полученный спектр по  $\gamma$ -линиям от первого возбужденного уровня ядра углерода-12 (образуется при синтезе ядер гелия и бериллия) и пикам одиночного и двойного вылета.



## 5. Сцинтиляционный спектрометр

Для регистрации  $\gamma$ -квантов часто используются сцинтиляционные спектрометры.

Сцинтиляционный спектрометр состоит из сцинтиллятора и фотоэлектронного умножителя (рис.5.1). Для регистрации  $\gamma$ -излучения в сцинтиляционных спектрометрах используют взаимодействия  $\gamma$ -квантов с веществом сцинтиллятора. Результатом всех трех основных процессов взаимодействия  $\gamma$ -квантов с веществом (фотоэффекта, комптоновского рассеяния и рождения пар) является передача энергии  $\gamma$ -кванта вторичным частицам - электронам и позитронам. При прохождении заряженных вторичных частиц через вещество их энергия тратится на возбуждение и ионизацию среды. Переходы с возбужденных состояний сцинтиллятора на более низкие уровни энергии сопровождаются излучением фотонов: в сцинтилляторе возникает световая вспышка. Таким образом, сцинтиллятор трансформирует энергию падающего  $\gamma$ -кванта в большое количество вторичных  $\gamma$ -квантов низких энергий – фотонов флюoresценции. Возникшие в сцинтилляторе под действием падающего пучка  $\gamma$ -квантов вторичные электроны попадают через светопровод на фотокатод. Фотокатод нанесен на внутреннюю торцевую поверхность стеклянного баллона ФЭУ, в котором создан высокий вакуум, необходимый для свободного движения электронов.

Под действием фотонов происходит фотоэффект на фотокатоде с вылетом электронов, которые попадают в электронно-оптическую систему фотокатод – диноды (электроды). В результате второй электронной эмиссии на динодах электроны выбиваются из них вторичные электроны, образуя нарастающую от динода к диноду электронную лавину. Форма динодов подобрана для эффективного ускорения и фокусировки вторичных электронов. Величина коэффициента второй электронной эмиссии динодов находится в пределах от 2 до 5 в зависимости от материала поверхности динодов и энергии электронов, задаваемой делителем напряжения. Между динодами поддерживается разности потенциалов 100-150 В. Общий коэффициент усиления ФЭУ, имеющих обычно от 10 до 14 динодов, достигает величин порядка  $10^6$ - $10^9$ . Амплитуда импульса напряжения, создаваемого на нагрузке последнего динода (анода) ФЭУ, обычно составляет несколько десятых вольта и при определенных условиях пропорциональна энергии, потерянной частицей в сцинтилляторе.

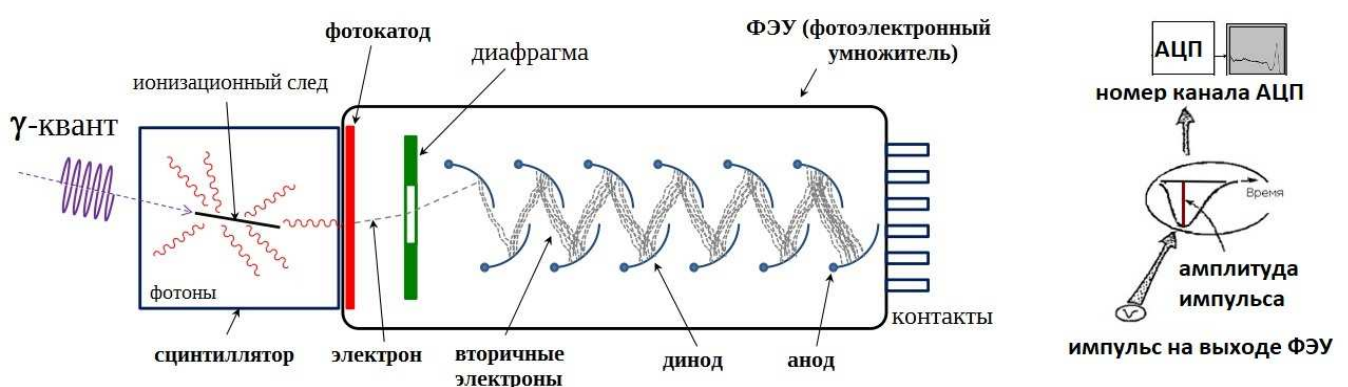


Рис. 5.1: Схема устройства сцинтиляционного детектора. Частица, попадая в сцинтиллятор, порождает фотоны флуоресценции, которые по светопроводу попадают на фотокатод ФЭУ. По амплитуде выходного импульса с ФЭУ на АЦП добавляется «единичка» в соответствующий

В результате фотоэффекта выбитый из атома электрон приобретает энергию

$$E_e = E_\gamma - E_b - E_r,$$

где  $E_\gamma$  – энергия гамма-кванта,  $E_b$  – энергия связи электрона и  $E_r$  – энергия ядра отдачи, которой можно пренебречь. Фотоэффект сопровождается характеристическим рентгеновским излучением или эмиссией оже-электронов. Характеристическое рентгеновское излучение в свою очередь вызывает фотоэффект. Образующиеся в результате всех этих процессов электроны возникают практически одновременно, они чаще всего поглощаются в детекторе и сигналы от них суммируются. Таким образом, практически вся энергия гамма-кванта передается электронам,  $E_e = \sum E_e$  и в сцинтилляторе возникает световая вспышка, интенсивность которой пропорциональна энергии  $\gamma$ -кванта. В функции отклика детектора фотоэффекту соответствует пик – т. н. фотопик.

В результате комптоновского рассеяния электронам передается только часть энергии, т.к. доля передачи энергии  $\gamma$ -кванта электрону зависит от угла рассеяния .

$$E_\theta = \frac{E_0}{1 + \frac{E_0}{m_e c^2} (1 - \cos \theta)}, \quad E_e = E_0 - E_\theta,$$

где  $E_0$  и  $E_\theta$  – энергии гамма-квантов до и после рассеяния,  $E_e$  – энергия фотоэлектрона,  $m_e c^2$  – энергия покоя электрона,  $\theta$  – угол рассеяния гамма кванта. Максимальная энергия, которая в результате комптоновского рассеяния может быть передана электрону (при  $\theta = 180^\circ$ )

$$E_e^{\max} = E_0 - E_\theta = E_0 - \frac{E_0}{1 + \frac{2E_0}{m_e c^2}}$$

В детекторах большого объема (рис.5.2) часть рассеянных гамма-квантов может испытать еще одно или несколько неупругих взаимодействий, в результате которых вся энергия попавшего в детектор первичного гамма-кванта будет полностью поглощена. В связи с этим, фотопик обычно называют пиком полного поглощения. На рис. 5.3 показан примерный экспериментальный спектр монохроматического  $\gamma$ -источника с энергией ниже 1 МэВ и его

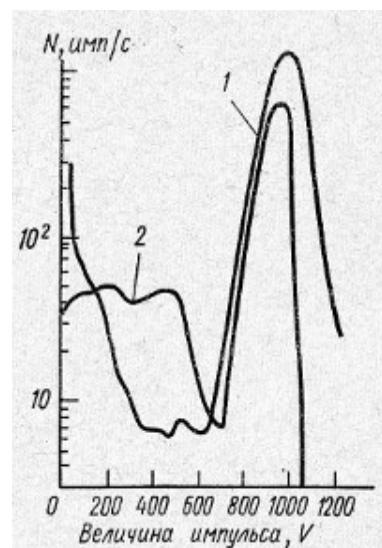


рис.5.2.  $\gamma$ -спектр  $^{51}\text{Cr}$ : 1- большой кристалл; 2 – малый кристалл



рис. 5.3: Сравнение теоретического распределения энергии электронов и экспериментального спектра в детекторе NaI(Tl) в случае, когда  $\gamma$ -кванты регистрируют в результате фотоэффекта и комптон-эффекта. Уширение монохроматической линии, соответствующей фотопику, определяется разрешением детектора.

теоретическая "идеализация". Размытие пика полного поглощения и края комптоновского распределения связана с энергетическим разрешением системы.

Образование пар электрон-позитрон становится возможным при энергии гамма квантов больших  $2mc^2 = 1022$  кэВ. При этом вся энергия гамма-кванта передается электрону и позитрону. Если и электрон и позитрон поглотятся в веществе детектора, то суммарный импульс будет пропорционален энергии гамма-кванта и событие будет зафиксировано в пике полного поглощения. Однако позитрон может проаннигилировать. При этом образуются два гамма кванта, каждый с энергией 511 кэВ. Если один из этих аннигиляционных гамма-квантов, не вступив во взаимодействие, вылетит из детектора, то суммарная энергия поглощенная в детекторе будет  $E\gamma - 511$  кэВ. Такие события будут вносить вклад в так называемый пик одиночного вылета. Если из детектора вылетят оба аннигиляционных гамма-кванта, то это событие будет зафиксировано в пике двойного вылета ( $E\gamma - 1022$  кэВ).

Поскольку для целей спектроскопии требуется пропорциональность между энергией частицы и интенсивностью вспышки, световой выход кристалла не должен зависеть от энергии частицы. В  $\gamma$ -спектроскопии наиболее часто используются неорганические кристаллы, в частности NaI(Tl). Выбор йодистого натрия для регистрации  $\gamma$ -излучения в первую очередь обусловлен тем, что в интервале энергий от 1 кэВ до 5 МэВ световой выход NaI(Tl) не зависит от энергии электронов, т.е. амплитуда светового импульса линейно возрастает с ростом энергии электронов. Плотность кристалла ( $\rho = 3,67$  г/см<sup>3</sup>) и его атомный номер (для йода  $Z = 53$ ) также достаточно велики, что обеспечивает довольно высокий коэффициент поглощения.

Важной характеристикой эффективности регистрации служит параметр: эффективность по пiku полного поглощения (Full-Energy Peak Efficiency) - отношение количества гамма-квантов, зарегистрированных детектором в пике полного поглощения (nfep), к количеству гамма квантов данной энергии, испущенных источником (nem)

$$\text{efep} = \text{nfep}/\text{nem}$$

## 6. Контрольные вопросы и задачи

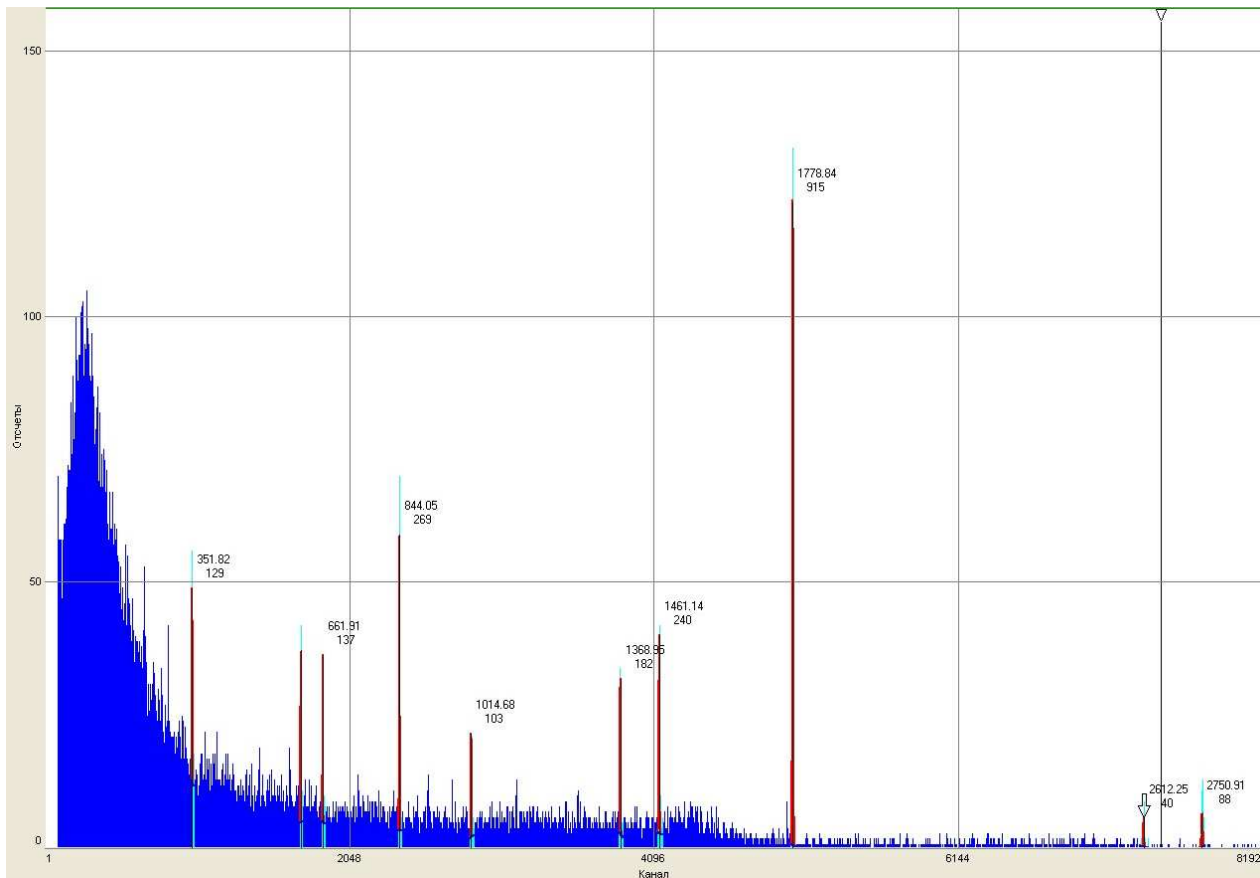
1. Нейтронный активационный анализ впервые применили в 1935 году Дьёрдь Хевеши и Хильде Леви. Хевеши руководил экспериментами. Леви позже вспоминала<sup>3</sup>: «Хевеши любил возиться с приборами... Стоило Хевеши оказаться одному в лаборатории, он непременно записывал показания счетчика, заливая лабораторный журнал чернилами своей протекающей ручки, случайным образом подкручивал напряжение на счетчике или менял измеряемый образец, как правило, к отчаянию ответственного за эксперимент». Представьте, что Вам во время эксперимента понизили (повысили) напряжение, подаваемое на детектор. Как изменятся показания? Если Ваш образец заменят во время облучения на графит? уран? Какими будут результаты в этом случае?

2. Известно, что в  $^{239}\text{Pu}$ -Бе-источнике нейtronов постепенно аккумулируется  $^{241}\text{Am}$

<sup>3</sup> Hilde Levi George de Hevesy. Life and work, Copenhagen, 1985, p. 83

( $T_{1/2}=432,6$  года). Объясните, как он там образуется. Влияет ли его образование на общую активность источника?

3. На рисунке представлены данные, полученные на Ge(Li)-спектрометре гамма-излучения при измерении 4-х облученных алюминиевых шпаг. Шпаги облучались в течении недели в воде рядом с нейтронным источником, интенсивность которого  $10^6$  нейтронов/с. Объясните полученные результаты.



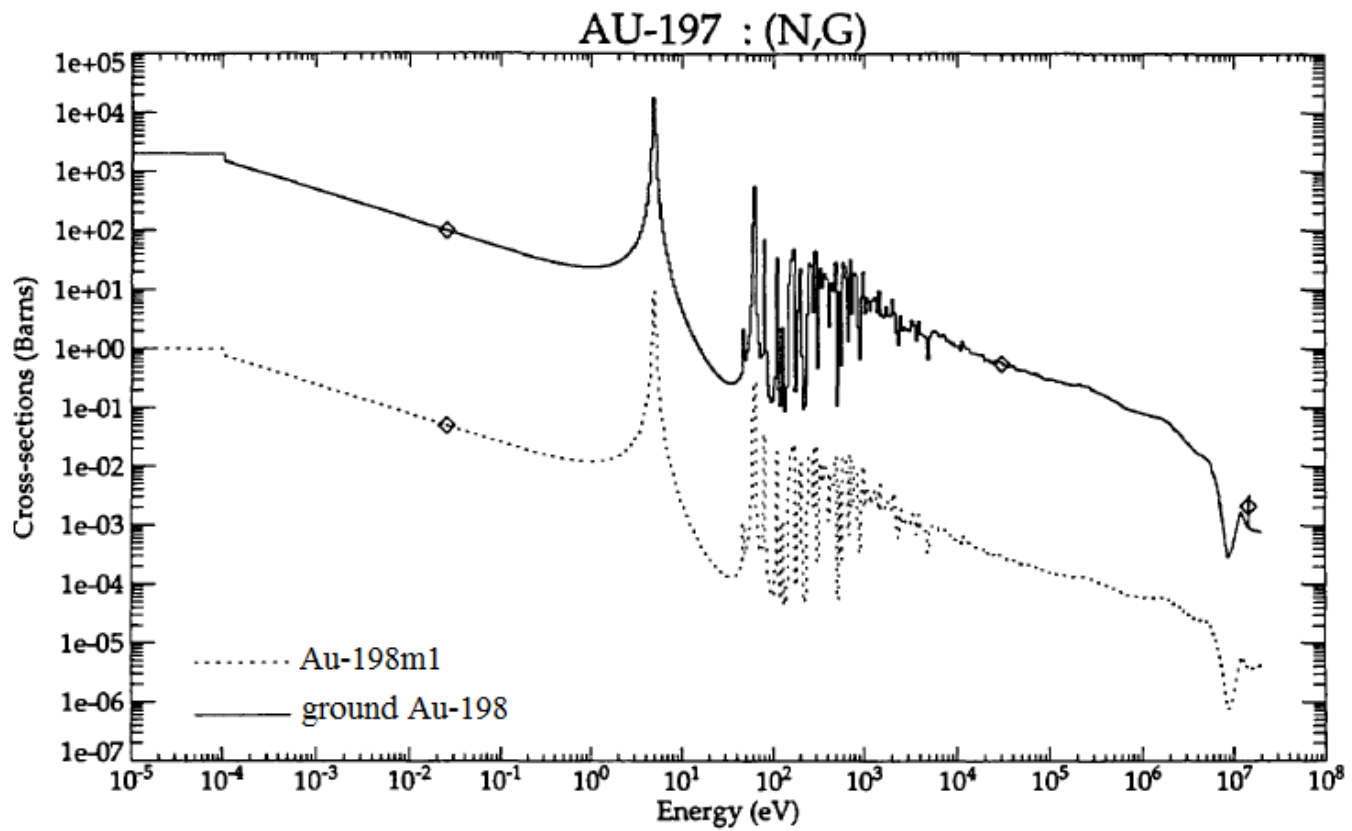
#### 7. Литература

- Hevesy G., Levi H. Action of Slow Neutrons on Rare Earth Elements // Nature, February 1, 1936, p.185
  - Активация. Активационный анализ <http://nuclphys.sinp.msu.ru/practicum/activation/aa.htm>
  - Бобров В.А. и др. Исследование элементного состава лунного реголита методом инструментального нейтронно-активационного анализа в книге Лунный грунт из моря Кризисов. М.: Наука, 1980. СС. 345- 351.
  - Ишханов Б.С. - Физика атомного ядра и частиц — Ядерные реакции (лекция 11) <https://youtu.be/tJFMLQI9ukQ?t=2055>
  - Мухин К.Н. Экспериментальная ядерная физика т.1 Физика атомного ядра. Учебник для вузов. Изд.5-е. М., Энергоатомиздат, 1993 г., сс. 354-356 [http://nuclphys.sinp.msu.ru/books/np/mukhin1\\_1.htm](http://nuclphys.sinp.msu.ru/books/np/mukhin1_1.htm) (djvu)
  - Широков Ю.М., Юдин Н.П. Ядерная физика, Изд.5-е. М. 1980, сс.482-483, 446-456 [hep.msu.dubna.ru/main/mod/resource/view.php?id=423](http://hep.msu.dubna.ru/main/mod/resource/view.php?id=423) (djvu)
  - Фурсова Н. Нейтронный активационный анализ в книге Нейтрон. —М.: КДУ 2021. — с. 156 <http://nuclphys.sinp.msu.ru/neutron/neutron1.pdf>
  - Kučera J., Kameník J., Havránek V. Hair elemental analysis for forensic science using nuclear and related analytical methods // Forensic Chemistry, - Volume 7, - 2018, pp. 65-74, <https://www.sciencedirect.com/science/article/pii/S246817091730067X>
- Волнистая стрелка <https://e7.pngegg.com/pngimages/284/455/png-clipart-water-pink-wavy-arrow-water-pink-arrow-wavy-arrow.png>

**Приложение 1.** Зависимость сечения захвата нейтрона ядрами  $^{197}\text{Au}$  от энергии нейтрона.

Точки - экспериментальные значения (Atlas of Neutron Capture Cross Sections

<https://www-nds.iaea.org/ngatlas2/>)



Задачу разрабатывали И.М. Зверева, С.Б. Морозов